

# Multiplex8+ VÝSLEDKY



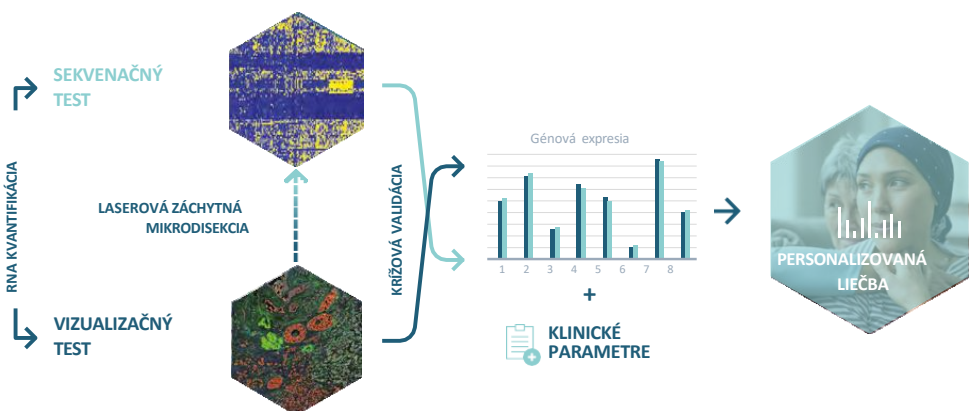
| PACIENT       | VZORKA               | OŠETRUJÚCI LEKÁR |
|---------------|----------------------|------------------|
| Meno:         | ID vzorky: MDX-PT-22 | Meno:            |
| ID:           | Dátum odberu:        | Adresa:          |
| Dátum správy: | Typ:                 | Kontakt:         |

## POPIS TESTU

Test Multiplex8+ na rakovinu prsníka hodnotí biomarkery na báze RNA vykonaním VIZUALIZAČNÉHO TESTU, ktorý využíva RNA fluorescenčnú in situ hybridizáciu (RNA-FISH) na vizualizáciu panelu biomarkerov. Na základe expresie týchto biomarkerov a histológie tkaniva sa na vyčlenenie záujmových oblastí používa laserová záchytná mikrodisekcia.

S týmito vzorkami obohatenými o nádor sa vykoná SEKVENAČNÝ TEST, ktorý využíva sekvenovanie novej generácie celkovej RNA na analýzu expresie génov s priestorovým rozlíšením. Analytické overenie Multiplex8+ sa uskutočnilo na veľkej retrospektívnej kohorte 1 080 nádorov prsníka.

NIŽŠIE JE UVEDENÝ SÚHRN A ĎALŠIE PODROBNOSTI SÚ UVEDENÉ NA NASLEDUJÚCICH STRANÁCH.



TEST POSKYTUJE INFORMÁCIE O:

- STAV RECEPTOROV:** pre expresiu RNA estrogénového receptora, progesterónového receptora, receptora Her2 a Ki67 meranú a krížovo overovanú dvoma testami.

- MOLEKULÁRNOM SUBTYPE:** na základe RNA expresie génov nádorovej biológie.
- GÉNOVEJ SIGNATÚRE:** personalizované pre nádorovú biológiu a klinický stav pacientov.

## ZHRNUTIE VÝSLEDKOV

### STAV RECEPTOROV

| Vzorka | ESR1 | PGR | ERBB2 | MKI67 |
|--------|------|-----|-------|-------|
| A      | -    | -   | -     | +     |
|        |      |     |       |       |

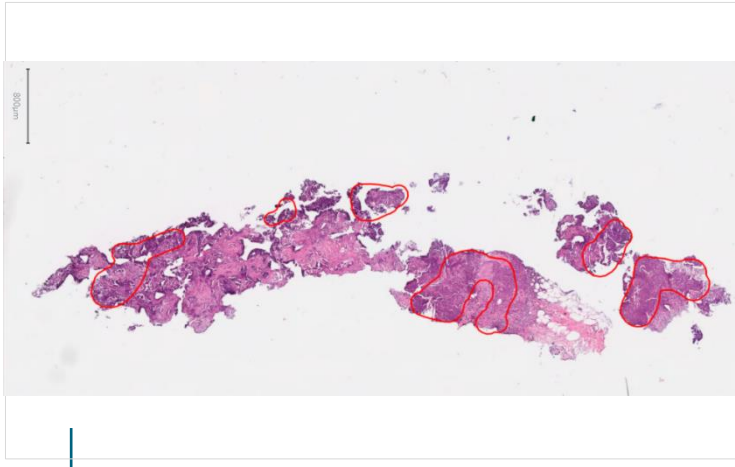
### MOLEKULÁRNY SUBTYP

| Vlastný subtyp | TNBC subtyp        |
|----------------|--------------------|
| Basal-like     | Basal-like 1 (BL1) |
|                |                    |

### RELEVANTNÁ LIEČBA

| TERAPIA  | KLÚČOVÉ ZISTENIA   | KLINICKÝ BENEFIT      |
|--|--|-----------------------|
| Atezolizumab (Tecentriq), Pembrolizumab (Keytruda) | Molekulárny subtyp, génová expresia, génové expresné signatúry | Predpokladaný benefit |
| Sacituzumab govitekan (Trodelvy)                   | Génová expresia  | Predpokladaný benefit |
| 5-fluorouracil                                     | Génová expresia  | Predpokladaný benefit |

## LASEROVÁ ZÁCHYTNÁ MIKRODISEKCIÁ



Na základe histologického hodnotenia a expresie biomarkerov RNA-FISH bola jedna vzorka (**Vzorka A**) podrobnená laserovej mikrodisekcii pre ďalšiu analýzu.

## STAV RECEPTOROV

| Vzorka | ESR1 | PGR | ERBB2 | MKI67 |
|--------|------|-----|-------|-------|
| A      | -    | -   | -     | +     |
|        |      |     |       |       |

Stav receptorov bol určený použitím **VIZUALIZAČNÉHO TESTU** ako aj **SEKVENAČNÉHO TESTU**: tabuľka znázorňuje výsledky po krízovej validácii.

## INTERPRETÁCIA

- Výsledky z RNA-FISH aj RNA-SEQ sú v súlade s imunohistochemickými nálezmi.

## MOLEKULÁRNY SUBTYP

| Vlastný subtyp | TNBC subtyp <sup>2-4</sup> |
|----------------|----------------------------|
| Basal-like     | Basal-like 1 (BL1)         |
|                |                            |

Na základe **SEKVENAČNÉHO TESTU** sme na klasifikáciu vnútorného molekulárneho subtypu použili konsenzuálny prístup využívajúci našu vlastnú viac ako 200-génovú signatúru na molekulárnu subtypizáciu, výskumom podložený test PAM50 a metódu AIMS<sup>1</sup>. Prípadný TNBC subtyp, bol klasifikovaný podľa Lehmanna<sup>2-4</sup>.

## INTERPRETÁCIA

- Biológia basal-like typu nádoru je v súlade s imunohistochemickým a klinickým označením.
- Subtyp Basal-like 1 (BL1) je charakteristický aktiváciou signálnych dráh bunkového cyklu a delenia buniek so zodpovedajúcim zvýšením markerov proliferácie. Pre karcinóm prsníka BL1 je tiež charakteristická zvýšená expresia markerov odpovede na poškodenie DNA. Tento podtyp dobre reaguje na neoadjuvantné chemoterapeutické režimy založené na taxánoch<sup>2-4</sup>.

## GÉNOVÁ SIGNATÚRA

- Na základe prideleného molekulárneho subtypu a prípadného TNBC subtypu sme hodnotili niekoľko jednotlivých génov a génových signatúr, ktoré preukázali prognostický a prediktívny potenciál pre terapiu v skorých a pokročilých/metastatických štadiách.

| Typ liečby / Dráha | Génová signatúra               | Popis   | Vzorka A percentil |  |
|--------------------|--------------------------------|---|--------------------|--|
| Prognóza           | Consensus prognostic signature | Prognostická signatúra je odvozená z konsenzu troch prognostických signatúr založených na výskume: 21-génovej signatúry Oncotype DX <sup>5</sup> , 70-génovej signatúry GENE70 <sup>6</sup> a 50-génovej signatúry rizika relapsu založenej len na subtype (ROR-S) <sup>7</sup> . Prognostické signatúry sú určené pre pacientky s včasným štadiom karcinómu prsníka s ER+/Her2- IHC, negatívnymi lymfatickými uzlinami alebo 1 - 3 pozitívnymi lymfatickými uzlinami. Skóre sa uvádzajú ako vysoké, stredné alebo nízke. Pacientky s vysokým skóre signatúry majú vyššie riziko relapsu a môžu mať prospech z adjuvantnej chemoterapie, zatiaľ čo pacientky s nízkym skóre majú nižšie riziko relapsu a nemusia mať prospech z adjuvantnej chemoterapie. | N/A                |  |

## GÉNOVÁ SIGNATÚRA

| Typ liečby / Dráha  | Génová signatúra       | Popis  | Vzorka A percentil |  |
|---------------------|------------------------|--|--------------------|--|
| Luminálne signatóry | ESR1                   | Gény ESR1 a PGR kódujú estrogénové (ER) a progesterónové (PR) receptory, ktoré sa podieľajú na raste, metabolizme a reprodukčných funkciách. Vysoký ER/PR je prediktívny pre endokrinnú liečbu a nízky alebo negatívny ER/PR sa spája so zlou prognózou <sup>8</sup> .   | Nízka (8%)         |  |
|                     | PGR                    |  | Stredná (38%)      |  |
|                     | ESR1_PGR average       | Priemerná expresia génov ESR1 a PGR. Vyššie hladiny hormonálnych receptorov sú prediktívnymi markermi pre endokrinnú liečbu.   | Nízka (15%)        |  |
|                     | E2F4_score             | Táto génová signatúra hodnotí aktivitu transkripcného faktora E2F4 a jeho cieľov. Vysoká hodnota E2F4 signatóry sa spája s endokrinnou rezistenciou na inhibítory aromatázy a môže predpovedať citlivosť na inhibítory CDK4/6 <sup>9</sup> .   | Stredná (63%)      |  |
| Her2                | ERBB2                  | Gén ERBB2 kóduje Her2, receptorovú tyrozínskú kináz, ktorá sa podieľa na raste/proliferácii buniek a je prognostickým markerom a prediktívnym ukazovateľom odpovede na terapiu cielenú na Her2 <sup>8</sup> .  | Nízka (9%)         |  |
|                     | MUC4                   | Mucín 4 (MUC4) je glykoproteín, ktorý sa podieľa na rezistencii voči trastuzumabu prostredníctvom interakcií s receptorom Her2. Vysoká expresia MUC4 sa spája so zníženou citlivosťou na trastuzumab <sup>10</sup> .   | Nízka (1%)         |  |
|                     | NRG1                   | NRG1 kóduje neuregulin 1, ligand receptora Her3. V štúdii NeoSphere fázy II bola vysoká expresia génu NRG1 spojená so zníženou odpovedou na neoadjuvantný trastuzumab, ale nie s kombináciou trastuzumab-pertuzumab <sup>11</sup> .  | Vysoká (91%)       |  |
|                     | pSTAT3-GS              | Signatúra, ktorá predpovedá fosforylaciu STAT3 a o ktorej sa zistilo, že predpovedá rezistenciu voči trastuzumabu v štúdii FinHer <sup>12</sup> .  | Vysoká (70%)       |  |
|                     | Her2 amplicon_MDX      | Vlastná 43-génová signatúra MDX, ktorá sa používa na hodnotenie stavu Her2.  | Stredná (37%)      |  |
|                     | Module7_ERBB2          | Signatúra Her2 signalizácie predpovedajúca odpoveď na viacnásobnú anti-Her2 liečbu v štúdii I-SPY2 <sup>13</sup> .   | Nízka (25%)        |  |
| Proliferácia        | AURKA                  | Gén AURKA kóduje proteín Aurora Kinázu A, ktorý sa podieľa na proliferácii buniek a je nezávislým prognostickým markerom pri rakovine prsníka.   | Stredná (38%)      |  |
|                     | MKI67                  | MKI67 kóduje marker proliferácie, Ki67 proteín, ktorý je markerom zlej prognózy v ER+/Her2- nádoroch, ale nie v Her2+ alebo TNBC nádoroch. Zvýšená hladina Ki67 predpovedá aj citlivosť na neoadjuvantnú endokrinnú terapiu a chemoterapiu <sup>4</sup> .  | Vysoká (89%)       |  |
|                     | Module11_proliferation | Proliferačný index použitý v štúdii I-SPY2 všeobecne predpovedá patologickú kompletívnu odpoveď u pacientov s pozitívou hormonálnych receptorov <sup>4</sup> .   | Stredná (59%)      |  |
|                     | Proliferation_MDX      | Vlastná 7-génová signatúra MDX používaná na hodnotenie bunkovej proliferácie.  | Vysoká (72%)       |  |
| Inhibítory CDK4/6   | CDK4                   | Cyklin-dependentné kinázy 4 a 6 (CDK4 a CDK6) sú dôležité proteíny, ktoré regulujú priebeh bunkového cyklu z fázy G1 do fázy S. Sú hlavnými cievními inhibítormi CDK4/6, ako sú palbociklib (Ibrance), ribociklib (Kisqali) a abemaciclib (Verzenio); nie je však jasné, či úroveň ich expresie predpovedá citlivosť na inhibítory CDK4/6. | Nízka (31%)        |  |
|                     | CDK6                   |  | Nízka (13%)        |  |
|                     | CCNE1                  |  | Stredná (66%)      |  |
|                     | CCND3                  | Zvýšená expresia regulátorov G1/S fáz bunkového cyklu, CCNE1, CCND3, a CDKN2D, bola spojená s rezistenciou na palbociklib (Ibrance) v jednoramennej neoadjuvantnej štúdii fázy II (NeoPalAna) <sup>14</sup> .  | Stredná (63%)      |  |
|                     | CDKN2D                 |  | Stredná (56%)      |  |

## GÉNOVÁ SIGNATÚRA

| Typ liečby / Dráha | Génová signatúra                    | Popis   | Vzorka A percentil |  |
|--------------------|-------------------------------------|---|--------------------|--|
| Chemoterapia       | TOP1                                | Gén kódujúci DNA topoizomerázu I, enzým kritický pre transkripciu DNA, je cieľom protinádorových liekov.  | Stredná (37%)      |  |
|                    | TOP2A                               | Gén kódujúci DNA topoizomerázu IIa, enzým kritický pre transkripciu DNA, je cieľom protinádorových liekov.  | Vysoká (69%)       |  |
|                    | RAD51                               | Proteín DNA opravy RAD51 homológ 1 (RAD51) sa podieľa na oprave poškodenia DNA a je asociovaný s rezistenciou voči chemoterapii.  | Vysoká (80%)       |  |
|                    | ERCC1                               | Proteín excíznej DNA opravy ERCC-1 (ERCC1) sa podieľa na oprave poškodenia DNA a je asociovaný s rezistenciou voči chemoterapii.  | Nízka (20%)        |  |
|                    | TYMS                                | Gén TYMS kóduje enzym timidilát syntetázu, ktorý sa podieľa na biosyntéze DNA a je cieľom antimetabolitovej chemoterapie 5-fluorouracil <sup>15</sup> .                       | Vysoká (68%)       |  |
|                    | SLC29A1                             | Gén SLC29A1 kóduje proteín ENT1 (equilibrative nucleoside transporter 1), nukleozidový transportér, ktorý sa podieľa na transporte gemcitabínu a kapecitabínu <sup>16</sup> . | Stredná (46%)      |  |
|                    | DHFR                                | Dihydrofolátreduktaza je enzym kódovaný génom DHFR a podieľa sa na metabolizme folátov a raste buniek. Je cieľom antimetabolitovej chemoterapie metotrexát <sup>17</sup> .    | Vysoká (80%)       |  |
|                    | SLC19A1                             | Gén SLC19A1 kóduje proteín RFC1 (reduced folate carrier 1), ktorý prenáša metotrexát do bunk <sup>17</sup> .  | Nízka (18%)        |  |
|                    | CDK12                               | Proteínový produkt génu CDK12 (Cyclin Dependent Kinase 12) reguluje transkripciu, dráhy opravy DNA a bunkový cyklus <sup>18</sup> .   | Nízka (22%)        |  |
|                    | MAPs_Mitotic_kinases_neoadj_chemo18 | 118-génová signatúra predpovedajúca odpoveď na neoadjuvantnú chemoterapiu pomocou liečiva taxán <sup>19</sup> .   | Stredná (41%)      |  |
|                    | MAPs_Mitotic_kinases_neoadj_chemo17 | 17-génová signatúra predpovedajúca odpoveď na neoadjuvantnú chemoterapiu pomocou liečiva taxán <sup>19</sup> .  | Stredná (66%)      |  |
|                    | Early_Relapse_ER.Neg                | Génová signatúra chemorezistencia predpovedajúca skorý relaps u pacientov s negatívou ER (ER-) po chemoterapii liečivami taxán-antracyklin <sup>20</sup> .                    | Stredná (45%)      |  |
|                    | Residual_disease_ER.Neg             | Génová signatúra chemorezistence predpovedajúca reziduálne ochorenie u pacientov s negatívou ER (ER-) po chemoterapii liečivami taxán-antracyklin <sup>20</sup> .             | Stredná (34%)      |  |
|                    | Pathologic_response_ER.Neg          | Génová signatúra chemosenzitivity predpovedajúca patologickú úplnú odpoveď u pacientov s negatívou ER (ER-) po chemoterapii liečivami taxán-antracyklin <sup>20</sup> .       | Nízka (25%)        |  |
|                    | Early_Relapse_ER.Pos                | Génová signatúra chemorezistence predpovedajúca skorý relaps u pacientov s pozitívou ER (ER+) po chemoterapii liečivami taxán-antracyklin <sup>20</sup> .                     | Stredná (46%)      |  |
|                    | Residual_disease_ER.Pos             | Génová signatúra chemorezistence predpovedajúca reziduálne ochorenie u pacientov s pozitívou ER (ER+) po chemoterapii liečivami taxán-antracyklin <sup>20</sup> .             | Stredná (44%)      |  |
|                    | Pathologic_response_ER.Pos          | Génová signatúra chemosenzitivity predpovedajúca patologickú úplnú odpoveď u pacientov s pozitívou ER (ER+) po chemoterapii liečivami taxán-antracyklin <sup>20</sup> .       | Stredná (40%)      |  |

## GÉNOVÁ SIGNATÚRA

| Typ liečby / Dráha                          | Génová signatúra                          | Popis  | Vzorka A percentil |  |
|---|---|--|--------------------|--|
| Imunitný systém                             | PDCD1                                     | PDCD1 kóduje marker imunitného kontrolného bodu PD-1. PD-1 je cieľom liečiva pembrolizumab (Keytruda), imunoterapie schválenej na liečbu prvej línie metastatického TNBC.  | Vysoká (80%)       |  |
|   | CD274                                     | Gén CD274 kóduje marker imunitného kontrolného bodu PD-L1. PD-L1 je cieľom liečiva atezolizumab (Tecentriq), imunoterapie schválenej na liečbu prvej línie metastatického TNBC.  | Vysoká (96%)       |  |
|   | CTLA4                                     | Antigén 4 asociovaný s cytotoxickými T-lymfocytmi (CTLA4) je marker imunitného kontrolného bodu a cieľ niekoľkých imunoterapeutických liekov, ako napríklad durvalumab (Imfinzi).  | Stredná (59%)      |  |
|   | Module5_TcellBcell                        | Imunitné signatúry predpovedajúce odpoveď na pembrolizumab pacientov s TNBC zaradených do štúdie I-SPY2 <sup>14</sup> . Všetky signatúry, s výnimkou mastocytovej (Mast_cells), boli spojené so zvýšenou pravdepodobnosťou dosiahnutia patologickej kompletnej odpovede. | Vysoká (92%)       |  |
|   | Chemokine12                               |  | Vysoká (98%)       |  |
|   | STAT1                                     |  | Vysoká (99%)       |  |
|   | Dendritic_cells                           |  | Vysoká (86%)       |  |
|   | Mast_cells                                |  | Stredná (47%)      |  |
| DNA poškodenie a oprava                     | VCpred_TN                                 | Signatúra reparácie poškodenia DNA / imunity predpovedajúca odpoveď na veliparib (inhibítorm PARP) a karboplatinu (štúdia I-SPY2) <sup>14</sup> .  | Stredná (59%)      |  |
| Angiogenéza / hypoxia                       | VEGFA                                     | Gén kódujúci vaskulárny endotelový rastový faktor, proteín, ktorý sa podieľa na angiogenéze, vazodilatácii a raste endotelových buniek. VEGF je cieľom lieku bevacizumab (Avastin).  | Stredná (48%)      |  |
|   | Hypoxia / Angiogenesis / Inflammatory_MDX | Vlastná 7-génová signatúra používaná na hodnotenie hypoxie, angiogenézy a zápalu. Signatúra zahŕňa gény, o ktorých je známe, že predpovedajú odpoveď na bevacizumab (Avastin) v neoadjuvantnej štúdii GeparQuinto <sup>21</sup> .  | Stredná (42%)      |  |
| Ciele konjugátov protilátky a liečiva (ADC) | ERBB2                                     | Gén ERBB2 kóduje proteínový receptor Her2, ktorý je cieľom klasickej anti-Her2 liečby. Nízke a ultranízke hladiny Her2 môžu byť vhodné na liečbu konjugátom protilátky a liečiva (antibody-drug conjugate) trastuzumab deruxtekan (Enhertu) <sup>22</sup> .              | Nízka (9%)         |  |
|   | TACSTD2                                   | Gén TACSTD2 kóduje Tumor-associated calcium signal transducer 2, nazývaný aj Trop-2, ktorý je cieľom liečiva sacituzumab govitekan (Trodelvy), konjugátu protilátky a liečiva (antibody-drug conjugate) schváleného na liečbu metastatického TNBC <sup>23</sup> .        | Vysoká (91%)       |  |
|   | NECTIN4                                   | Gén NECTIN4 kóduje Nectin Cell Adhesion Molecule 4, bunkovú adhéznu molekulu, ktorá je cieľom konjugátov protilátkov s liečivami (antibody-drug conjugates) v klinických štúdiach rakoviny prsníka.  | Stredná (64%)      |  |
|   | ERBB3                                     | ERBB3 kóduje proteín rodiny receptorov epidermálneho rastového faktora (EGFR) receptorových tyrozínníká. Skúma sa v klinických skúškach pre konjugát protilátky a liečiva (antibody-drug conjugate) patritumab deruxtekan.   | Nízka (5%)         |  |
|   | FOLR1                                     | FOLR1 kóduje folátový receptor alfa, ktorý je cieľom konjugátu protilátky a liečiva (antibody-drug conjugate) skúmaný na liečbu metastatického TNBC v niekoľkých klinických štúdiach fázy 1 a 2.   | Vysoká (69%)       |  |
|   | F3  | F3 kóduje tkaninový faktor, koagulačný faktor III, ktorý je cieľom niekoľkých konjugátov protilátkov a liečiv (antibody-drug conjugates) vo fáze 1 klinických skúšok.  | Stredná (50%)      |  |
|   | SLC39A6                                   | Gény SLC39A6 kódajú transportér zinku LIV-1, ktorý je vysoko exprimovaný v luminálnych karcinómoch prsníka a skúma sa v niekoľkých klinických štúdiach fázy 1 a 2.   | Stredná (49%)      |  |
|   | TPBG                                      | Trofoblastový glikoproteín (TPBG) je nadmerne exprimovaný v mnohých prípadoch rakoviny prsníka a je cieľom najmenej dvoch konjugátov protilátky a liečiva, ktoré sú vo fáze 1 klinických skúšok.   | Stredná (65%)      |  |

## INTERPRETÁCIA A ODPORÚČANIE

- Subtyp basal-like a vysoké skóre všetkých génov súvisiacich s imunitou a génových expresných signatúr predpovedajú, že táto pacientka môže mať prospech z inhibítov kontrolných bodov imunity, ako sú atezolizumab alebo pembrolizumab.
- Vysoká hladina TACSTD2 (91. percentil) predpovedá citlivosť na konjugát protilátky a liečiva cielený na Trop-2, Sacituzumab govitekan. Avšak jeho cytotoxická zložka SN-38 cieli na TOP1, ktorého expresia je mierna (37. percentil).
- Vysoká hladina TYMS môže predpovedať odpoveď na 5-fluorouracil
- Nádor obsahuje niekoľko markerov naznačujúcich rezistenciu alebo neistú odpoveď na chemoterapiu, ako je metotrexát (nízka expresia SLC19A1, CDK12 a vysoká expresia DHFR), gemcitabín/kapecitabín (stredne vysoká expresia SLC29A1) a chemoterapia na báze antracyklínov/taxánov (stredne vysoká expresia MAPs\_Mitotic\_kinases\_neoadj\_chemo17).

## REFERENCIE

1. Gendoo, D.M.A. et al. Bioinformatics 32(7): 1097–1099 (2016).
2. Lehmann, B. D. et al. J Clin Invest 121: 2750–2767 (2011).
3. Lehmann, B. D. et al. PLoS One 11: e0157368 (2016).
4. Bareche, Y. et al. Ann Oncol 29: 895–902 (2018).
5. Paik, S. et al. N Engl J Med 351(27): 2817–2826 (2004).
6. van't Veer, L.J. et al. Nature 415(6871): 530–536 (2002).
7. Parker, J.S. et al. J Clin Oncol 27(8): 1160–1167 (2009).
8. Cardoso, F. et al. Ann Oncol 30(8): 1194–1220 (2019).
9. Guerrero-Zotano, A.L. et al. Clin Cancer Res 24(11): 2517–2529 (2018).
10. Mercogliano, M.F. et al. Clin Cancer Res 23(3): 636–648 (2017).
11. Guardia, C. et al., Clin Cancer Res 27(18): 5096–5108 (2021).
12. Sonnenblick, A. et al. BMC Med 13:177 (2015).
13. Wolf, D. M. et al. Cancer Cell 40: 609–623.e6 (2022).
14. Ma, C.X. et al. Clin Cancer Res 23(15): 4055–4065 (2017).
15. Foekens, J.A. et al. Cancer Res. 61: 1421–1425 (2001).
16. Mackey, J.R. et al. Clin Cancer Res. 8(1): 110–116 (2002).
17. Yang, V. et al. RSC Med Chem. 11(6): 646–664 (2020).
18. Filippone, M.G. et al. Nat Commun. 13(1): 2642 (2022).
19. Rodrigues-Ferreira, S. et al. Proc Natl Acad Sci USA 116(47): 23691–23697 (2019).
20. Hatzis, C. et al. JAMA 305(18): 1873–81 (2011).
21. Karn, T. et al. Clin Cancer Res 26: 1896–1904 (2020).
22. Modi, S. et al. N Engl J Med 387: 9–20 (2022).
23. Michaleas, S. et al. ESMO Open 7 (2022).